

## CORRIGENDUM 1

Page 48

### D.2 Procédure

#### D.2.1 Orientation et notation

Remplacer le texte existant du paragraphe par le nouveau texte suivant:

Cette méthode décrit la caractérisation de la position A de la figure D.1. La notation de cette section peut être inversée pour la caractérisation de la position B. Les pertes en rétrodiffusion à la position A sont mesurées par injection de lumière d'une ou de plusieurs longueurs d'onde dans les deux fibres de référence A et B.

Pour cette procédure, les symboles suivants sont utilisés:

- $\lambda_j$  est la longueur d'onde particulière;
- RFA est la fibre de référence A;
- RFB est la fibre de référence B;
- $L_A(\lambda_j)$  est la perte à l'épissure A en injectant  $\lambda_j$  dans RFA;
- $L_B(\lambda_j)$  est la perte à l'épissure A en injectant  $\lambda_j$  dans RFB;
- $W_A(\lambda_j)$  est le diamètre de champ de mode mesuré à  $\lambda_j$  à l'extrémité de RFA;
- $W_S(\lambda_j)$  est le diamètre du champ de mode à  $\lambda_j$  tiré de cette méthode, pour l'échantillon à l'essai.

Les figures D.2 et D.3 montrent ces valeurs de pertes sur deux tracés de rétrodiffusion.

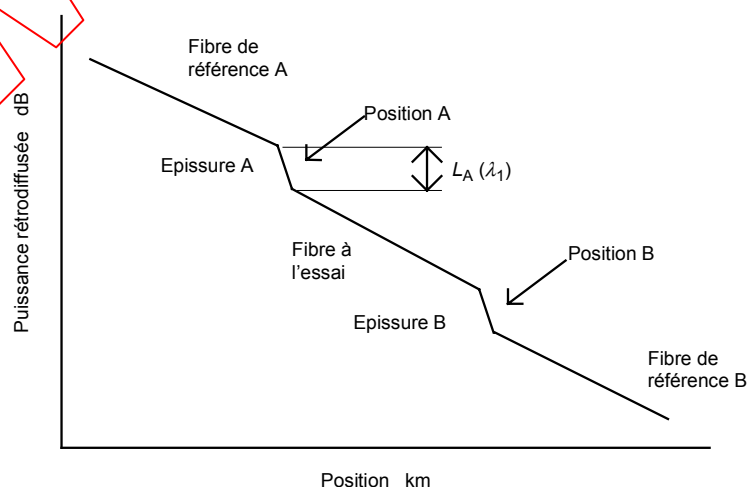
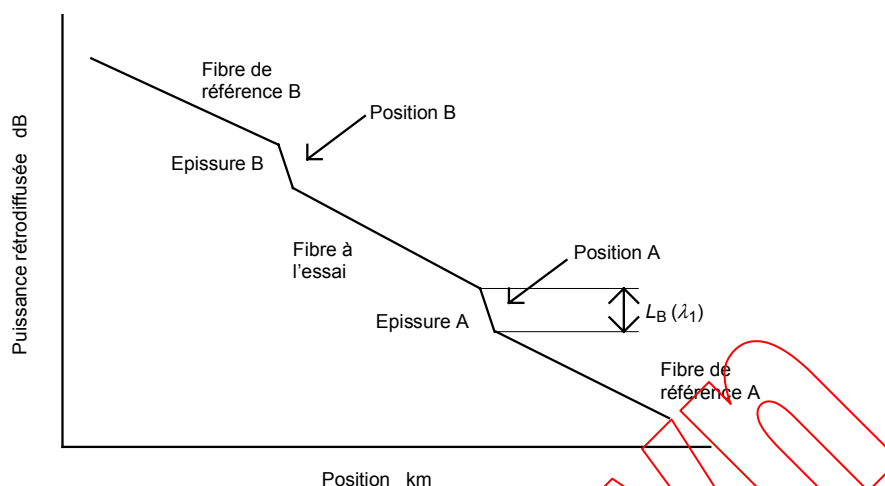


Figure D.2 – Vue de la fibre de référence A



**Figure D.3 – Vue de la fibre de référence B**

**D.2.2** Les pertes à l'épissure A sont mesurées suivant C.3.6 de la CEI 60793-1-40 dans le cas de l'injection de lumière à  $\lambda_1$  à partir de RFA. Le résultat est noté comme  $L_A(\lambda_1)$ . Les pertes à l'épissure A sont mesurées suivant C.3.6 de la CEI 60793-1-40 dans le cas de l'injection de lumière à  $\lambda_1$  à partir de RFB. Le résultat est noté comme  $L_B(\lambda_1)$ .

Page 52

### D.3 Calculs

#### D.3.2 Calcul du DCM de l'échantillon à l'essai

Remplacer l'équation existante (D.2) par la suivante:

$$W_S(\lambda_j) = W_A(\lambda_j) 10^{[g_j \Delta L(\lambda_j) + r_j] / 20} \quad (D.2)$$